

II-16 斜面上の碎波波形について

京都大学工学部 正 遠井哲郎, 正 高塙誠一, 森組 大家英太郎

1. まえがき 第21回海岸工学講演会において、従来の一様水深の有根抗衝撃理論では説明できなかった斜面上で碎ける周期波の量の位相における水平方向水粒子速度の鉛直分布の実験結果が、同時に測定された時間波形を入力とした Dean の流れ解析による計算によれば説明できることを示した。ここでこの事実さえも、斜面上の碎波の水粒子速度場は碎波波形によらず配置されるべきものに基づいて、これまで碎波点で測定した時間波形の実験結果について検討を行なった。

2. 解析方法 検討した斜面上の碎波の時間波形は、第20回海岸工学講演会で示した実験データ以外のもも含め、斜面勾配は $1/10, 1/20, 1/30$ の3種類、沖波波形勾配 H_0/L_0 の値は、0.005から0.074の範囲にわたっており、実験データの数は38である。また、記録された碎波点での時間波形のうちから、適当な一波を選び、一周期を15分割し、波の量を含む2区間ではさらに10分割（水位 η を読みとった。読みとった水位を碎波高 H_b たり）、時間 t は周期 T たり、て無次元化した。碎波の時間波形と H_0/L_0 との関係を調べるために、ここでは図-1を示すように、合計25種類のパラメータによって量的に整理する。ここで、 t_a および t_b は、後面の波面の勾配が急変する点（急変点）の位相と水位である。

3. 解析結果と考察 図2～8は上述の25個のパラメータによる7個のパラメータをとりあげ、斜面勾配および碎波波形勾配との関係を示したものである。図-2から、 i が大きいほど、 H_0/L_0 が小さいほど前面の谷の位相は減少し、前面の波面が引き立つくなることがわかる。図中の太い線は、はらつきのある実験値の平均的傾向を示したものである。また図-2から、 i が小さいほどこの量が高くなる傾向がある。しかし H_0/L_0 に着いては、その値の増加とともに一度増加（伸び残す）するようである。ときに図-4から、 i が大きいほど、また H_0/L_0 が小さいほど、 $\eta/H_b = -0.1$ における前面の波面の位相は減少する傾向がある。この傾向は、他の前面の波面の位相につけても同じで、水位レベルが低いほどその傾向が顕著である。このこと、 i が大きいほどまた H_0/L_0 が小さいほど前面が引き立つくなることを意味する。すなはち後面の波面にくらべて、図-5から、 i が大きい H_0/L_0 になると位相が増加する傾向がある。この傾向は $t_{r0.7}$ から $t_{r0.3}$ まで共通であり、 $\eta/H_b = 0.3$ における後面の位相は増加する傾向がある。この傾向は $t_{r0.7}$ から $t_{r0.3}$ まで共通であり、 $\eta/H_b = 0.3$ より大きい水位レベルでは、 i 、 H_0/L_0 とともに大きいほど後面の波面はゆるやかになることを意味する。 $i=1$ 、図-6から、 $t_{r0.2}$ に突いて、 $t_{r0.7} \sim t_{r0.3}$

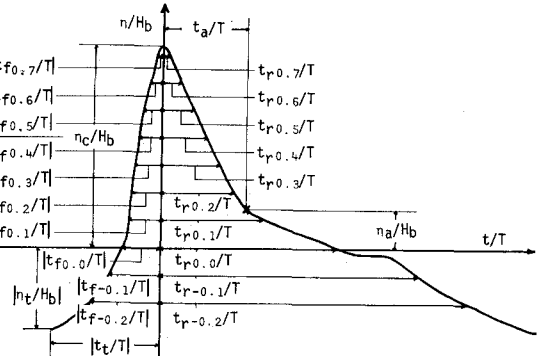


図-1 碎波の時間波形を整理するパラメータ

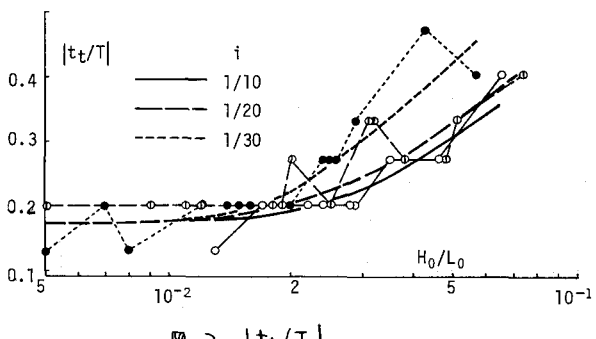


図-2 |t_r/T|

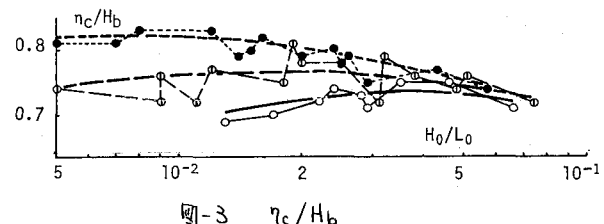


図-3 n_c/Hb

の傾向と比較して、 $i=1/10$ の場合の η_a/H_0 の効果が逆くとも、 H_0/L_0 が増加するに従うとともに大きくなる。図-7 は $t_{r0.1}$ であるが上述の傾向は $i=1/20$ の場合とおなじで、図-8 の $t_{r0.0}$ では、また $i=1/30$ の場合も H_0/L_0 の効果が逆転し、 i が大きいほど H_0/L_0 が小さいほどその値は増加することわかる。また $t_{r0.1}$ および $t_{r0.2}$ の $t_{r0.3}$ も同様の傾向である。(たゞ $i=1/30$ の場合、 H_0/L_0 が 10^{-2} 以下では、その値が大きいほど後面の波面はゆるやかになるが、 H_0/L_0 が 10^{-1} 以上では、 i が大きいほどその傾向が逆となるある水位レベル ($i=1/10$ の場合はほぼ $\eta_a/H_0=0.2$ 、 $1/20$ の場合は 0.1 、 $1/30$ の場合は 0.0) が存在し、それより高いレベルでは H_0/L_0 が小さいほど前面と同様にきり立ち、それより低いレベルでは前面とは逆にゆるやかにならざるを。このことより、前述の急変点の存在と關係があることをうかがえる。急変点の位置 t_{r0} と水位 η_a について同様の検討を行なった結果、 H_0/L_0 が小さくなるほど t_{r0}/T が減少し、波の進行に近づくことわかる。一方の効果は明確ではないが、また i が大きいほど、 H_0/L_0 が小さいほど、 η_a/H_0 は増加することわかる。したがって、前述の H_0/L_0 が同じ後面の波面の傾向が逆転する水位レベルは、最もよく i が大きいほど H_0/L_0 の値によって大きく変化し、その値が大きいほど限界の水位レベルが減少することが予想される。

以上のようく、碎波の時間波形における前の波面に向いては、往々の碎波型式の分類から予想される傾向と比較して、若干注意を要する。すなわち、従来の碎波型式の分類では、 i が大きくなる H_0/L_0 が小さくなるにつれて、碎波型は崩れ波から巻き波型に移行する。このことより、 i が大きいほどまた H_0/L_0 が小さいほど、前面はきり立ち後面はゆるやかになる)、より非対称な波形になると予想される。しかし上述の結果から、 i が同じではその予想は正しくない。 H_0/L_0 が同じでは、その値が小さいほど、 i がごとに決まる一定の水位レベル以上では、前面同様にきり立ち、後面がやせ行き、ついくことわかる。

以上、この研究では斜面上の碎波の時間波形と底勾配および碎波波形勾配との関係を実験的に検討し、前の波面の波形に向いてはその關係を单纯化することを試みたが、ここで扱ったものは時間波形であり、碎波帶は一つの通過変形などの問題についてはもう一級的の水位分布を考慮する必要があるから、同様の検討を空間波形に向いても行なう必要がある。

最後にこの研究は著者自身が得たものと付記する。